

Vorlesung

Deterministische Signale und Systeme

Marius Pesavento



TECHNISCHE
UNIVERSITÄT
DARMSTADT

Copyright

- The presented material is part of a lecture taught at Technische Universität Darmstadt.
- The lecture material is only intended for the students of the class.
- All lecture material, figures and content is used under the legal framework of §60a UrhG.
- Dissemination or disclosure of material of this course (pdf documents, videos, animations, and others) in part or as a whole is **not permitted**.



TECHNISCHE
UNIVERSITÄT
DARMSTADT

Zusammenfassung WP3 – Lerneinheit 10

Filter im Frequenzbereich

Zusammenfassung WP3 – Lerneinheit 10

LTI System (Filter) im Frequenzbereich

Fourier-Transformation

Transformationspaar

$$x(t) \quad \circ \text{---} \bullet \quad X(j\omega)$$

Transformation in den Frequenzbereich:

$$X(j\omega) = \mathcal{F}\{x(t)\} = \int_{-\infty}^{\infty} x(t)e^{-j\omega t} dt$$

Rücktransformation in den Zeitbereich:

$$x(t) = \mathcal{F}^{-1}\{X(j\omega)\} = \frac{1}{2\pi} \int_{-\infty}^{\infty} X(j\omega)e^{j\omega t} d\omega$$

Übertragungsfunktion und Filterung

Transformation (Filterung) eines Signals $x(t)$ mittels LTI System

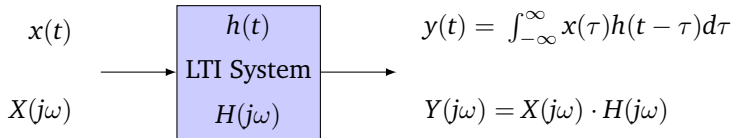


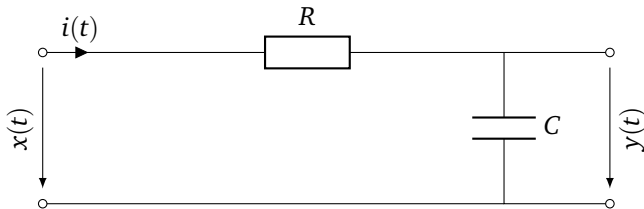
Abbildung: Filterung von $x(t)$ in einem LTI System.

Bereits bekannt:

$$y(t) = x(t) * h(t) \quad \longleftrightarrow \quad Y(j\omega) = X(j\omega) \cdot H(j\omega)$$

$H(j\omega)$ wird **Übertragungsfunktion** des LTI Systems (auch Filters) genannt und entspricht FT der **Impulsantwort**. Da FT eine **ein-eindeutige Transformation** ist, beinhaltet $H(j\omega)$ dieselbe Information wie die Impulsantwort $h(t)$.

Übertragungsfunktion des RC Tiefpass-Filters



$$\begin{aligned}x(t) &= y(t) + RC \frac{dy(t)}{dt}, \quad -\infty < t < \infty \\X(j\omega) &= (1 + j\omega RC) \cdot Y(j\omega) \\Y(j\omega) &= \underbrace{H(j\omega)}_{(1+j\omega RC)^{-1}} \cdot X(j\omega)\end{aligned}$$

RC Tiefpass-Filter

Übertragungsfunktion des Systems ist Gebrochenrationale Funktion

$$H(j\omega) = \frac{Y(j\omega)}{X(j\omega)} = \frac{1}{1 + j\omega RC} = \frac{1}{1 + j\frac{\omega}{\omega_0}}.$$

wobei $\omega_0 = \frac{1}{RC}$ als 3dB Grenzfrequenz bezeichnet wird.

Impulsantwort ergibt sich durch Rücktransformation (Tabelle)

$$h(t) = \omega_0 e^{-\omega_0 t} u(t) = \frac{1}{RC} e^{-\frac{t}{RC}} u(t)$$

Amplitudengang des Systems ergibt sich als

$$|H(j\omega)| = \left[1 + \left(\frac{\omega}{\omega_0} \right)^2 \right]^{-\frac{1}{2}}$$

RC Tiefpass-Filter

Der Kehrwert von ω_0 , d.h. $\omega_0^{-1} = RC$, wird auch als **Zeitkonstante** bezeichnet.

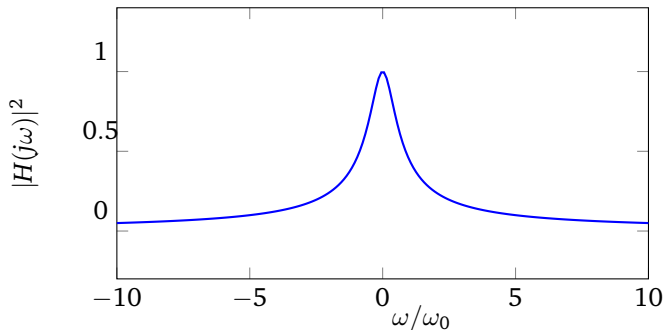


Abbildung: Amplitudengang eines Tiefpass-Filters.

RC Tiefpass-Filter

Aus dem **Amplitudengang** des Filters erkennen wir, dass mit steigendem ω der **Betrag** der Übertragungsfunktion abnimmt.

Für Frequenzen nahe Null sind die Beträge von $H(j\omega)$ groß.

- Systeme die sich so verhalten werden **Tiefpass**-Filter genannt.
- Signalanteile bei **tiefen Frequenzen** passieren das Filter nahezu unverändert.
- Signalanteile bei **hohen Frequenzen** werden hingegen stark gedämpft.

Berechnung der Zeitbereichsantwort über die Frequenzdarstellung

- Berechnung der Übertragungsfunktion mittels Fouriertransformation der Differentialgleichung und Umstellen nach $H(j\omega) = \frac{Y(j\omega)}{X(j\omega)}$
- Fouriertransformation des Eingangssignals: $X(j\omega) = \mathcal{F}\{x(t)\}$.
- Berechnung der Systemantwort im Frequenzbereich: $Y(j\omega) = H(j\omega) \cdot X(j\omega)$.
- Rücktransformation in den Zeitbereich mittels Inverser Fouriertransformation: $y(t) = \mathcal{F}^{-1}\{Y(j\omega)\}$.

Anmerkung: Für R-, L-, C-Kreise ergeben sich im Frequenzbereich häufig Gebrochenrationale Funktionen. Diese lassen sich mittels Polynomdivision und Partialbruchzerlegung in geeignete Summanden (Partialbrüche) zerlegen, die mittels Korrespondenztabelle (und Eigenschaften) rücktransformiert werden können.

Fourier-Transformierte wichtiger Funktionen

$x(t)$	$X(j\omega)$
1. $e^{-at}u(t)$	$\frac{1}{a+j\omega}, \quad a > 0$
2. $e^{at}u(-t)$	$\frac{1}{a-j\omega}, \quad a > 0$
3. $te^{-at}u(t)$	$\frac{1}{(a+j\omega)^2}, \quad a > 0$
4. $t^n e^{-at}u(t)$	$\frac{n!}{(a+j\omega)^{n+1}}, \quad a > 0$
13. $e^{-at} \sin(\omega_0 t)u(t)$	$\frac{\omega_0}{(a+j\omega)^2 + \omega_0^2}, \quad a > 0$
14. $e^{-at} \cos(\omega_0 t)u(t)$	$\frac{a+j\omega}{(a+j\omega)^2 + \omega_0^2}, \quad a > 0$
17. $\frac{d^k \delta(t-t_0)}{dt^k}$	$(j\omega)^k e^{-j\omega t_0}$

Tiefpass-Filter mit Rechtecksimpuls am Eingang

Für kleine Werte von $\frac{\tau}{RC} \ll 1$ (d.h. $\tau \ll RC$) ist eine **erhebliche Verzerrung** am Ausgang zu beobachten. Daher bestimmt der Quotient $\frac{\tau}{RC}$ den generellen Verlauf des Ausgangssignals $y(t)$.

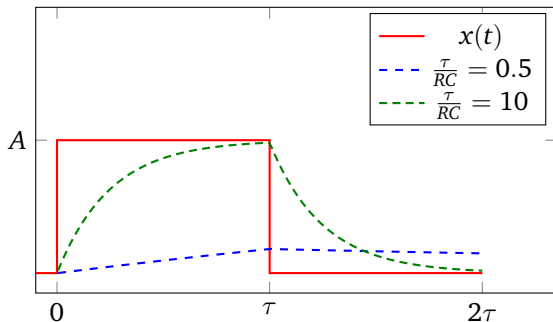


Abbildung: Systemausgang für t verschiedene Werte von $\frac{\tau}{RC}$.

Tiefpass-Filter mit Rechtecksimpuls am Eingang

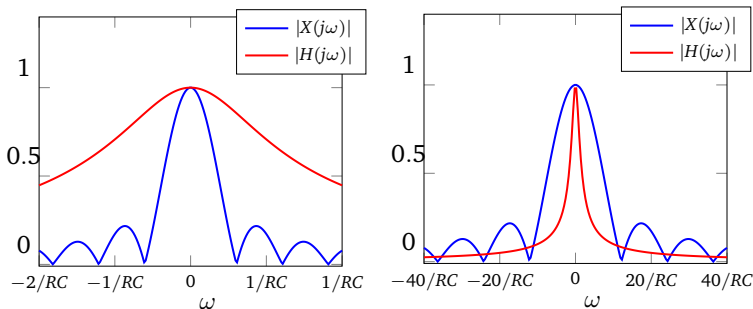


Abbildung: Amplitudengänge von $X(j\omega)$ und $H(j\omega)$ für a) $\frac{\tau}{RC} = 10$ und b) $\frac{\tau}{RC} = \frac{1}{2}$.

Linearphasiges Filter

Beispiel: Allpass

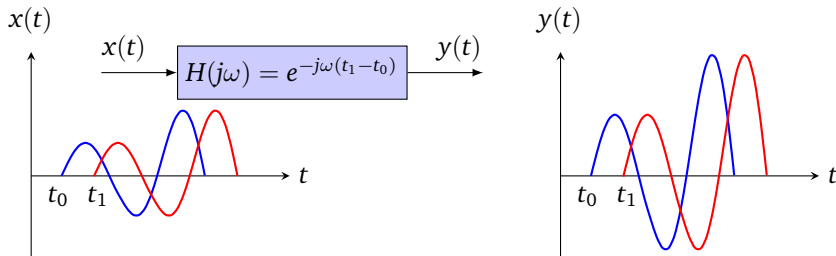
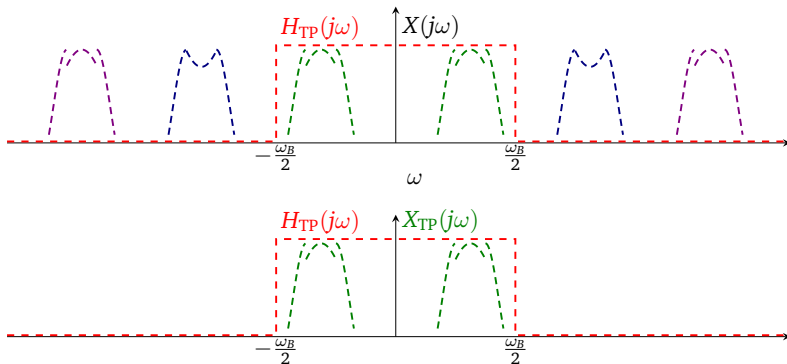


Abbildung: Linearphasiges Filter (Allpass).

- Ein **Allpass** hat einen konstanten Amplitudengang $|H(j\omega)| = 1$.
- Ist zusätzlich der **Phasengang linear**, d.h. $\arg\{H(j\omega)\} = -\omega\tau$, für beliebige Zeitverzögerungen τ , dann ist die Form des Eingangssignals am Ausgang **unverändert**.
- Dann wirkt sich das Allpassfilter auf das Eingangssignal lediglich in Form eine Zeitverzögerung des Signals um τ aus, d.h. $y(t) = x(t - \tau)$.

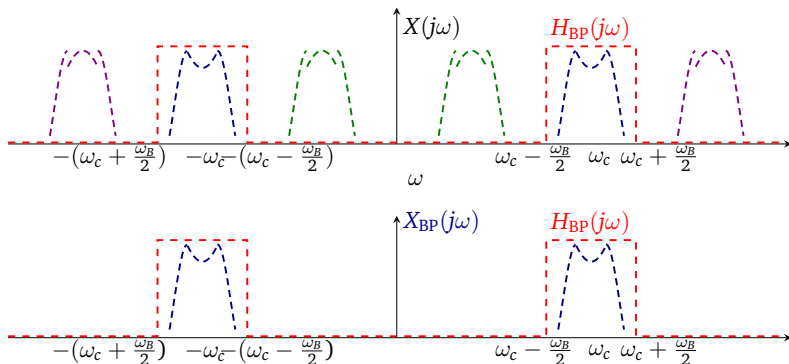
Idealer Tiefpass (reeles Zeitsignal)



$$H_{TP}(j\omega) = K r_{\frac{\omega_B}{2}}(\omega) e^{-j\omega t_0}$$

$$h_{TP}(t) = \mathcal{F}^{-1}\{H_{TP}(j\omega)\} = \frac{K\omega_B}{2\pi} \text{sinc}\left[\frac{\omega_B}{2\pi}(t - t_0)\right]$$

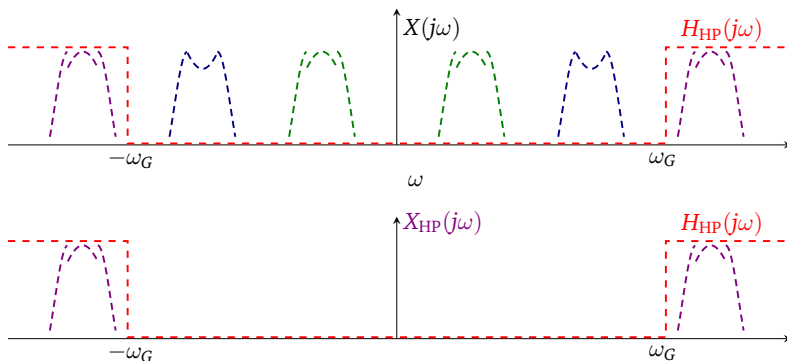
Idealer Bandpass (reeles Zeitsignal)



$$H_{BP}(j\omega) = K \left[r_{\frac{\omega_B}{2}} (\omega - \omega_0) + r_{\frac{\omega_B}{2}} (\omega + \omega_0) \right] e^{-j\omega t_0}$$

$$h_{BP}(t) = \mathcal{F}^{-1}\{H_{BP}(j\omega)\} = \frac{K\omega_B}{\pi} \text{sinc} \left[\frac{\omega_B}{2\pi} (t - t_0) \right] \cos[\omega_0(t - t_0)]$$

Idealer Hochpass (reeles Zeitsignal)



$$H_{HP}(j\omega) = K \left[1 - r_{\frac{\omega_B}{2}}(\omega) \right] e^{-j\omega t_0}$$

$$h_{HP}(t) = \mathcal{F}^{-1}\{H_{HP}(j\omega)\} = K\delta(t - t_0) - \frac{K\omega_B}{2\pi} \text{sinc} \left[\frac{\omega_B}{2\pi}(t - t_0) \right]$$

Ideale Filter

Im Frequenzbereich

- Konstante Verstärkung im Durchlassbereich
- Vollständige Unterdrückung im Stoppbandbereich
- Linear Phase (entspricht konstanter Zeitverzögerung)
- Unendlich steile Flanken am Übergang vom Durchlassbereich zum Stoppbandbereich

Im Zeitbereich

- Nichtkausales Filter (Impulsantwort zu negativen Zeiten verschwindet nicht)
- Unendlich ausgedehnte Impulsantwort

Reale Filter mit endlicher Impulsantwort lassen sich durch Abschneiden (bei positiven und negativen Zeiten) und Verschieben der Impulsantwort generieren.

⇒ Gibbs'sches Phänomen.